

$$\rho - 1 - k > 0 \text{ или } \alpha < 1 - \beta^2(k - 1)/2,$$

также совпадают с условиями устойчивости по моменту того же порядка решения уравнения (4).

В заключение следует отметить, что с помощью уравнений (5), (10) и при соответствующем выборе граничных условий может быть решена задача об определении вероятности выхода случайного процесса  $s(t)$  за границы заданной области.

Модель упругого стержня, расположенного в сплошной вязкой среде, является упрощенной моделью вязкоупругого стержня, материал которого обладает ограниченной вязкостью. Поэтому полученные выше результаты, по-видимому, качественно будут совпадать с аналогичными результатами для указанного стержня, сжатого нагрузкой, являющейся стационарным процессом типа «белого» шума.

*Поступила 22 V 1980*

#### ЛИТЕРАТУРА

1. Потапов В. Д. Устойчивость вязкоупругих стержней и оболочек при действии нагрузок, меняющихся во времени. — Механика композитных материалов, 1979, № 3.
2. Миллионников М. Д. К теории однородной изотропной турбулентности. — ДАН СССР, 1941, т. 32, № 9.
3. Болотин В. В. Случайные колебания упругих систем. М.: Наука, 1979.
4. Болотин В. В., Москвин В. Г. О параметрических резонансах в стохастических системах. — Изв. АН СССР. МТТ, 1972, № 4.
5. Свешников А. А. Прикладные методы теории случайных функций. М.: Наука, 1968.
6. Тихонов А. Н., Самарский А. А. Уравнения математической физики. М.: Наука, 1972.
7. Ляпунов А. М. Общая задача об устойчивости движения. М.: Гостехиздат, 1950.
8. Хасьминский Р. З. Устойчивость систем дифференциальных уравнений при случайных возмущениях их параметров. М.: Наука, 1969.

УДК 533.6.011

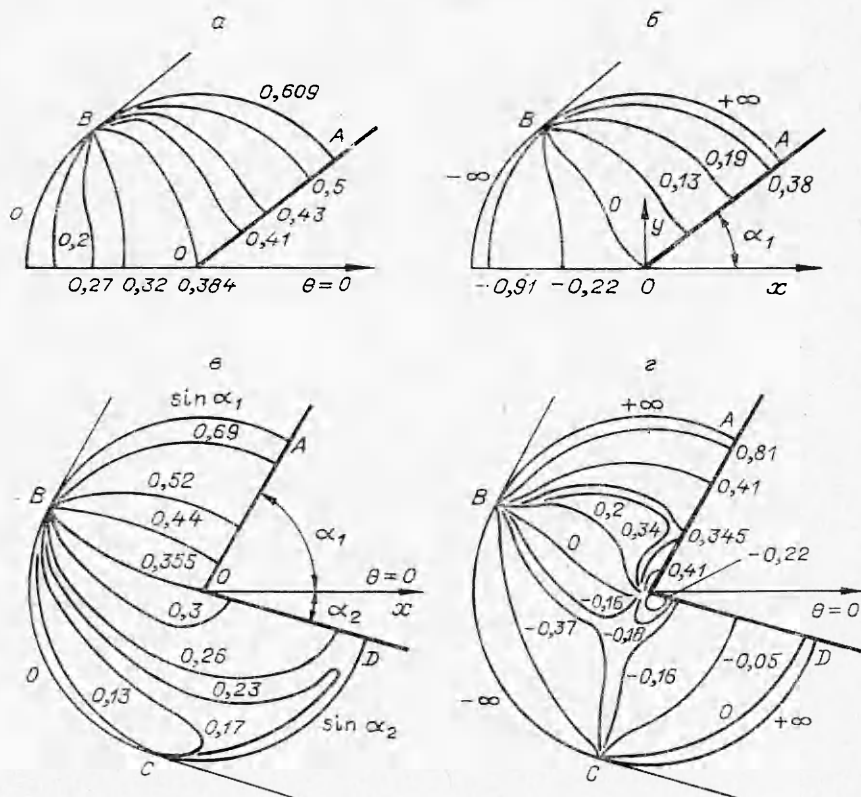
#### К ЗАДАЧЕ О ВНЕЗАПНОМ ВДВИГАНИИ КЛИНА

B. B. Tитаренко

(Саратов)

Рассматривается задача о внезапном вдвигании в покоящуюся среду клина с постоянной скоростью. Некоторые случаи задачи исследованы в линейном приближении в [1—4]. В [4] построены также нелинейные решения, справедливые в окрестности волновой границы области возмущений. Ниже для симметричного и несимметричного случаев движения клина с малой скоростью построены нелинейные решения в окрестности его носика. Показано сильное качественное отличие полей изобар, вычисленных по линейной и нелинейной теориям. В несимметричном случае найдено, что в разложения акустики и в разложения, справедливые в окрестности волновой границы, необходимо вставить дополнительные члены, указаны их порядок и вид. Обнаружен режим вдвигания с образованием висячей ударной волны, рассчитана ее интенсивность. Проведен также линейный и нелинейный анализ всевозможных случаев вдвигания вогнутого угла.

1. Рассмотрим внезапное вдвигание бесконечного клина произвольного угла раствора  $2\alpha = \alpha_1 + \alpha_2$  (фиг. 1) в покоящийся идеальный газ с малой постоянной скоростью  $w_0 = a_0 M_0$  ( $a_0$  — скорость звука в газе,



Ф и г. 1

$M_0 \ll 1$ ). Введем полярную систему автомодельных координат  $r, \theta$ , начиная которой совпадает с носиком клина, ось  $\theta = 0$  противоположна направлению движения клина, и безразмерные относительное избыточное давление  $P$  и потенциал скорости  $f$ :

$$(1.1) \quad r \cos \theta = x/(a_0 t), \quad r \sin \theta = y/(a_0 t), \quad p = p_0(1 + \gamma P), \\ \Phi = a_0^2 t f(r, \theta).$$

Здесь  $t$  — время;  $p$  — давление;  $\Phi$  — размерный потенциал скорости.

Задача отыскания  $f, P$  в области возмущений  $OABCDO$  (фиг. 1) и положения ее границы (постановка приведена, например, в [4]) сложна.

Примем в качестве малого параметра задачи  $\varepsilon$  число Маха клина  $M_0$  и представим  $f, P$  в виде асимптотических рядов по  $\varepsilon$

$$(1.2) \quad f = \varepsilon f^{(1)} + \varepsilon^2 f^{(2)} + O(\varepsilon^3), \quad P = \varepsilon P^{(1)} + \varepsilon^2 P^{(2)} + O(\varepsilon^3).$$

Линейное решение для  $P^{(1)}$  имеет вид [4]

$$(1.3) \quad P^{(1)} = \sin \alpha_1 \cdot I\{\sigma^\lambda, \lambda(\theta - \alpha_1), -\lambda\pi/2\} + \\ + \sin \alpha_2 \cdot I\{\sigma^\lambda, \lambda(\theta - \alpha_1), \lambda(3\pi/2 - \alpha_1 - \alpha_2)\}, \\ \lambda = \pi/(2\pi - \alpha_1 - \alpha_2), \quad \sigma = [1 - (1 - r)^{1/2}]r;$$

$$(1.4) \quad I\{a, b, c\} = (1/\pi) \arctg \{(1 - a^2) \sin c / [2a \cos b - \\ - (1 + a^2) \cos c]\}.$$

Значения арктангенсов в (1.4) берутся в интервале  $(0, \pi)$ .

Вычисленные по (1.3) поля изобар  $P^{(1)} = \text{const}$  и изолиний градиента  $P_r^{(1)} = \text{const}$  для углов  $\alpha_1 = \alpha_2 = 37,5^\circ$  и  $\alpha_1 = 60^\circ, \alpha_2 = 15^\circ$  приведены на фиг. 1, а—г (числа рядом с линиями указывают значения const). Фиг. 1 наглядно демонстрирует качественное различие полей  $P, P_r$  в симметричном и несимметричном случаях и указывает на явные дефекты линейной теории в окрестности волновой границы  $ABCD$  области возмущений, а в несимметричном случае — и в окрестности носика клина.

2. Исследуем течение вблизи носика клина. Рассмотрим сначала симметричный случай. Устремляя  $r \rightarrow 0$ , из линейного решения (1.3) при  $\alpha_1 = \alpha_2$  получим

$$(2.1) \quad P^{(1)} = \pi_{1*} + v_1 r^{2\lambda} \cos 2\omega_1 + v_2 r^{4\lambda} \cos 4\omega_1 + o(r^{4\lambda}),$$

$$\text{где } \pi_{1*} = \lambda(\sin \alpha_1 + \sin \alpha_2)/2;$$

$$\lambda = \pi/(2\pi - \alpha_1 - \alpha_2); \quad \omega_1 = \lambda(\theta - \alpha_1); \quad \pi v_1 = 2^{1-2\lambda} \sin \alpha_1 \sin \lambda \pi;$$

$$\pi v_2 = 2^{-4\lambda} \sin \alpha_1 \sin 2\lambda \pi.$$

Используя (2.1) в получаемых по методу малого параметра уравнениях для вторых членов разложений (1.2) при  $r \rightarrow 0$ , найдем разложения  $P, f$  при  $r \rightarrow 0$

$$(2.2) \quad P = \pi_* + \varepsilon \{v_1 r^{2\lambda} \cos 2\omega_1 + v_2 r^{4\lambda} \cos 4\omega_1 + o(r^{4\lambda})\} + \varepsilon^2 \{g_{21} r^{4\lambda-2} +$$

$$+ g_{22} r^{6\lambda-2} + o(r^{6\lambda-2})\} + O(\varepsilon^3), \quad g_{21} = -2[\lambda v_1/(2\lambda - 1)]^2,$$

$$g_{22} = -8\lambda^2 v_1 v_2 \cos 2\omega_1 / [(2\lambda - 1)(4\lambda - 1)],$$

$$f = \varepsilon \{v_1 r^{2\lambda} \cos 2\omega_1 / (2\lambda - 1) + v_2 r^{4\lambda} \cos 4\omega_1 / (4\lambda - 1) + \\ + o(r^{4\lambda})\} + \varepsilon^2 \{g_2 r^{4\lambda} + o(r^{4\lambda})\} + O(\varepsilon^3),$$

$$\pi_* = \varepsilon \pi_{1*} + \varepsilon^2 \pi_{1*}^2 / 2 + O(\varepsilon^3), \quad g_2 = A \cos 4\omega_1 + v_1^2 / [2(1 - 2\lambda)], \quad A = \text{const}.$$

Согласно (2.2), разложение для  $P$  нерегулярно [5] при  $r \leq r_c$ , где  $r_c \sim \varepsilon^{1/(2-2\lambda)}$ . Внутренние [5] переменные и разложения в окрестности носика клина, являющегося точкой торможения (согласно (2.2) скорость частиц  $f_r^2 + r^{-2} f_\theta^2 = 0$  при  $r = 0$ ), введем согласно (2.2)

$$(2.3) \quad r = \varepsilon^{1/(2-2\lambda)} s, \quad f = \varepsilon^{1/(1-\lambda)} \chi_1(s, \theta) + \varepsilon^{\lambda_1} \chi_2(s, \theta) + \dots,$$

$$P = \pi_* + \varepsilon^{1/(1-\lambda)} \Delta_1(s, \theta) + \varepsilon^{\lambda_1} \Delta_2(s, \theta) + \dots, \quad \lambda_1 = (1 + \lambda)/(1 - \lambda).$$

Подставляя (2.3) в точные уравнения задачи, получим, что в первых двух приближениях параметры в окрестности  $r = 0$  определяются из решений уравнений движения несжимаемой жидкости

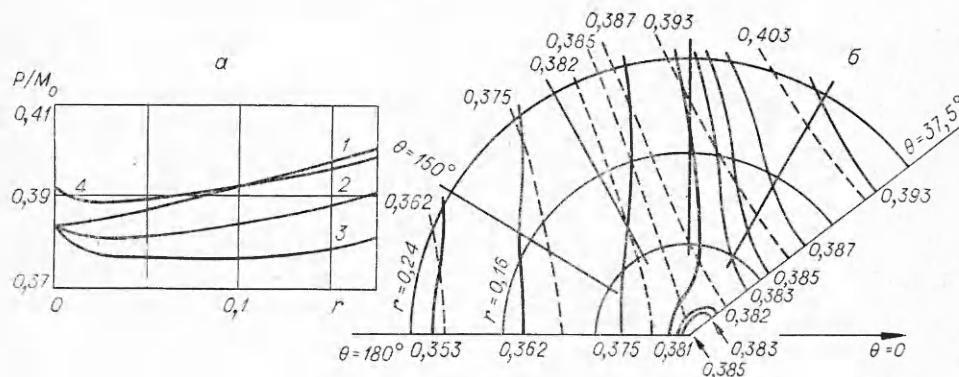
$$(2.4) \quad \nabla^2 \chi_1 = \chi_{1ss} + \chi_{1s}/s + \chi_{100}/s^2 = 0, \quad \Delta_1 = s\chi_{1s} - \chi_1 - \\ - (\chi_{1s}^2 + \chi_{10}^2/s^2)/2;$$

$$(2.5) \quad \nabla^2 \chi_2 = 0, \quad \Delta_2 = s\chi_{2s} - \chi_2 - \chi_{1s}\chi_{2s} - \chi_{10}\chi_{20}/s^2.$$

Краевые задачи для определения  $\chi_1, \chi_2$  включают уравнения (2.4), (2.5), условия на поверхности клина и линии симметрии

$$(2.6) \quad \chi_{10} = \chi_{20} = 0 \text{ при } \theta = \alpha_1, \theta = \pi, \quad 0 \leq s \leq s_0, \quad s_0 \rightarrow \infty$$

и условие сращивания с решениями акустики (1.2), (2.2), справедливыми вдали от носика при  $s \rightarrow \infty$ . Последние получаются приравниванием внешнего разложения  $f$  порядка  $O(\varepsilon^3)$  внутреннего разложения  $f$  (2.3) порядка  $O(\varepsilon^{\lambda_1})$  (сокращенно  $(f_i^{\lambda_1})^{\varepsilon^2}$ ) и внутреннего разложения  $f$  порядка  $O(\varepsilon^{\lambda_1})$  внешнего разложения  $f$  (2.2) порядка  $O(\varepsilon^2)$  (сокращенно



Фиг. 2

$(f_o^{\varepsilon^2})_i^{\varepsilon^{\lambda-1}}$ . При этом из (2.2), (2.3) имеем

$$(f_o^{\varepsilon^2})_i^{\varepsilon^{\lambda-1}} = \varepsilon^{1/(1-\lambda)} v_1 s^{2\lambda} \cos 2\omega_1 / (2\lambda - 1) + \varepsilon^{\lambda-1} v_2 s^{4\lambda} \cos 4\omega_1 / (4\lambda - 1).$$

Общие решения для  $\chi_1$ ,  $\chi_2$  можно получить методом разделения переменных, и они приведены в [6]. Решения краевых задач для  $\chi_1$ ,  $\chi_2$  получим, удовлетворяя общими решениями из [6] условиям (2.6) и условиям сращивания. Окончательные ответы удобно записать, введя плоскость комплексного переменного и комплексные потенциалы:

$$(2.7) \quad z = se^{i\theta}, \quad W_1(z) = \chi_1(s, \theta) + i\psi_1(s, \theta), \quad W_2(z) = \chi_2(s, \theta) + i\psi_2(s, \theta)$$

( $\psi_1$ ,  $\psi_2$  — функции тока). Тогда они примут вид

$$(2.8) \quad W_1 = v_1 (ze^{-i\alpha_1})^{2\lambda} / (2\lambda - 1), \quad \Delta_1 = v_1 s^{2\lambda} \cos 2\omega_1 + g_{21} s^{4\lambda-2};$$

$$(2.9) \quad W_2 = v_2 (ze^{-i\alpha_1})^{4\lambda} / (4\lambda - 1), \quad \Delta_2 = v_2 s^{4\lambda} \cos 4\omega_1 + g_{22} s^{6\lambda-2}.$$

Расчеты по формулам (2.3), (2.8), (2.9) приведены на фиг. 2. На фиг. 2, а представлено распределение давления  $P^{(1)}$  по поверхности вдвигаемого в воздух клина с углами  $\alpha_1 = \alpha_2 = 37.5^\circ$ . По линейной теории (кривая 1) давление в носике минимально. По нелинейной теории (кривые 2—4 соответствуют одночленному при  $M_0 = 0.1$ , одночленному при  $M_0 = 0.2$ , двучленному при  $M_0 = 0.1$  внутренним решениям) на поверхности клина имеются 2 точки минимума  $P$ , расположенные симметрично на небольшом удалении от носика, в котором имеется локальный максимум  $P$ . Нелинейное поле изобар  $P^{(i)} = \text{const}$ , вычисленное при  $\varepsilon = M_0 = 0.1$  по одночленному внутреннему решению (сплошные кривые на фиг. 2, б), принципиально отличается от поля, предсказываемого линейной теорией (фиг. 1, а и штриховые кривые на фиг. 2, б).

3. В случае несимметричного движения клина из (1.3) при  $r \rightarrow 0$  получим

$$(3.1) \quad P^{(1)} = \pi_* + \mu_1 r^\lambda \cos \omega_1 + \mu_2 r^{2\lambda} \cos 2\omega_1 + o(r^{2\lambda}),$$

где  $\pi \mu_1 = -2^{1-\lambda} (\sin \alpha_2 - \sin \alpha_1) \sin(\lambda\pi/2)$ ;

$$\pi \mu_2 = 2^{-2\lambda} (\sin \alpha_1 + \sin \alpha_2) \sin \lambda\pi.$$

Используя (3.1) в уравнениях для  $f^{(2)}$ ,  $P^{(2)}$  при  $r \rightarrow 0$ , найдем разложение  $f$ ,  $P$  при  $r \rightarrow 0$

$$(3.2) \quad P = \pi_* + \varepsilon [\mu_1 r^\lambda \cos \omega_1 + \mu_2 r^{2\lambda} \cos 2\omega_1 + o(r^{2\lambda})] + \varepsilon^2 [h_{21} r^{2\lambda-2} + h_{22} r^{3\lambda-2} + o(r^{3\lambda-2})] + O(\varepsilon^3), \quad 2h_{21} = -[\lambda \mu_1 / (\lambda - 1)]^2, \quad h_{22} = -2\lambda^2 \mu_1 \mu_2 \cos \omega_1 / [\lambda - 1]$$

$$\begin{aligned} -1)(2\lambda - 1)], f = \varepsilon \{ \mu_1 r^\lambda \cos \omega_1 / (\lambda - 1) + \mu_2 r^{2\lambda} \cos 2\omega_1 / (2\lambda - 1) + \\ + o(r^{2\lambda}) \} + \varepsilon^2 \{ h_2 r^{2\lambda} + o(r^{2\lambda}) \} + O(\varepsilon^3), h_2 = A_1 \cos 2\omega_1 + \\ + \mu_1^2 / [2(1 - \lambda)], A_1 - \text{const.} \end{aligned}$$

Согласно (3.2), разложение для  $P$  нерегулярно при  $r \leq r_H$ , где  $r_H \sim \varepsilon^{1/(2-\lambda)}$ . Внутренние переменные и разложения в окрестности  $r = 0$  введем согласно (3.2):

$$(3.3) \quad r = \varepsilon^{1/(2-\lambda)} s, f = \varepsilon^{2/(2-\lambda)} \chi_1(s, \theta) + \varepsilon^{\lambda_2} \chi_2(s, \theta) + \dots,$$

$$P = \pi_* + \varepsilon^{2/(2-\lambda)} \Delta_1(s, \theta) + \varepsilon^{\lambda_2} \Delta_2(s, \theta) + \dots, \lambda_2 = (2 + \lambda)/(2 - \lambda).$$

Подставляя (3.3) в точные уравнения, получим внутренние уравнения (2.4), (2.5).

Область непригодности разложений акустики в несимметричном случае значительно больше, чем в симметричном. Согласно (3.2),  $P_r$  и скорость частиц неограниченно возрастают при  $r \rightarrow 0$ , что указывает на перетекание частиц газа с одной грани клина на другую (с верхней на нижнюю на фиг. 1,  $\varrho$ ). Но, как известно [7, 8], такой процесс должен сопровождаться образованием вихря, который как бы сглаживает острую кромку, обеспечивая конечную скорость частиц.

Построение вихревого течения в окрестности носика можно выполнить при предположениях [8–11]: 1) течение невязкое; 2) завихренность сосредоточена в вихревой пелене — поверхности тангенциального разрыва скорости, начинающейся в носике и закручивающейся в некоторую спираль (форма спирали неизвестна, течение вне пелены потенциально)\*.

В этом случае комплексный потенциал течения можно представить в виде  $W_1 = W_{11} + W_{12}$ , где  $W_{11}$  — потенциал безотрывного обтекания носика потоком несжимаемой жидкости,  $W_{12}$  — потенциал пелены. Аналогично  $\Delta_1 = \Delta_{11} + \Delta_{12}$ .

Выражения для  $W_{11}$ ,  $W_{12}$  найдем известным [7, 8] методом:

$$(3.4) \quad W_{11} = b_1 (ze^{-i\alpha_1})^\lambda, W_{12} = b_2 (ze^{-i\alpha_1})^{2\lambda}, b_1, b_2 — \text{const.}$$

Произвольные постоянные  $b_1$ ,  $b_2$  определим впоследствии в процессе сращивания с акустическим решением.

Перейдем к нахождению  $W_{12}$ . Пусть  $z_N = s_N e^{i\psi_N}$  определяет положение некоторой точки пелены. Введем вместо физической циркуляции  $C(r, \theta, t)$  в силу автомодельности безразмерную циркуляцию  $\kappa(s, \theta) = C/(a_0^2 t)$ . Комплексный потенциал точечного вихря, расположенного в точке  $z_N$  и имеющего интенсивность  $\kappa_N$ , можно получить, конформно отображая область течения на верхнюю полуплоскость, используя известное [10] решение для точечного вихря и учитывая присутствие стенки:

$$(3.5) \quad W_N = i\kappa_N / (2\pi) \ln \{(z^\lambda - z_N^\lambda) / (z^\lambda - e^{2i\alpha_1 \lambda} \overline{z_N^\lambda})\}.$$

Здесь и далее черта сверху обозначает комплексно-сопряженную величину.

Обозначая длину дуги пелены, отсчитываемую от носика клина, через  $l$ , получим  $W_{12}$  суперпозицией точечных вихрей (3.5):

$$(3.6) \quad W_{12} = i / (2\pi) \int_0^l \ln \{(z^\lambda - z_l^\lambda) / (z^\lambda - e^{2i\alpha_1 \lambda} \overline{z_l^\lambda})\} dx_l.$$

Потенциал скорости пелены  $\chi_{12} = \operatorname{Re}\{W_{12}\}$ , давление  $\Delta_{12}$  находится из второго уравнения (2.4).

\* Возможностью вторичного (и т. д.) отрыва потока, вызываемого основным вихрем, пренебрегаем.

Очевидно, что нахождение  $x_l$  и  $z_l = s_l \exp(i\theta_l)$  должно проводиться при определенных условиях, а именно: условии Кутта — Жуковского конечности скорости в носике клина, условии отсутствия силового воздействия на пелену (равенство давлений и нормальных к пелене составляющих скорости частиц по разные стороны пелены) и условиях на поверхности клина, формулируемых для суммарных потенциала скорости  $W_1$  и давления  $\Delta_1$ .

Решение этой сложной задачи может быть получено численно (обзор различных методов дан в [11]).

Нас в данном случае интересует другой, ранее не затрагивавшийся вопрос о согласовании вихревого течения с течением вдали от носика клина.

Предельный процесс  $\varepsilon \rightarrow 0$  при фиксированной внутренней переменной  $s$  означает, согласно (3.3), что  $r \rightarrow 0$ . Следовательно, согласно (1.2), (3.2), (3.3),

$$(3.7) \quad \left(f_0^{\varepsilon^2}\right)_i^{\lambda^2} = \varepsilon^{2/(2-\lambda)} \mu_1 s^\lambda \cos \omega_1 / (\lambda - 1) + \varepsilon^{\lambda_2} \mu_2 s^{2\lambda} \cos 2\omega_1 / (2\lambda - 1).$$

Предельный процесс  $\varepsilon \rightarrow 0$  при фиксированной внешней переменной  $s$  означает, согласно (3.3), что  $r \rightarrow 0$ . Тогда, согласно (3.3), (3.4) и (3.6) при  $z \rightarrow \infty$ ,

$$(3.8) \quad \left(f_i^{\varepsilon^{\lambda_2}}\right)_0^{\varepsilon^2} = \varepsilon^{2/(2-\lambda)} [b_1 s^\lambda \cos \omega_1 + (T/s^\lambda) \cos \omega_1] + \varepsilon^{\lambda_2} b_2 s^{2\lambda} \cos 2\omega_1;$$

$$(3.9) \quad T = (1/\pi) \int_0^l s_l^\lambda \sin \omega_{1l} d\kappa_l, \quad \omega_{1l} = \lambda(\theta_l - \alpha_1).$$

Приравнивая внешний (3.7) и внутренний (3.8) пределы, получим

$$(3.10) \quad b_1 = \mu_1 / (\lambda - 1), \quad b_2 = \mu_2 / (2\lambda - 1).$$

При этом в (3.8) остался несращенный член, являющийся асимптотикой вихревой пелены. Поэтому во внешние разложения (1.2) необходимо вставить дополнительные члены, учитывающие вихревой характер течения в окрестности носика клина. Разложения акустики (1.2), согласно (3.8), (3.7), (3.3), должны иметь вид

$$(3.11) \quad \begin{aligned} f &= \varepsilon f^{(1)} + \varepsilon^{\lambda_2} f^* + \varepsilon^2 f^{(2)} + o(\varepsilon^2, \varepsilon^{\lambda_2}), \\ P &= \varepsilon P^{(1)} + \varepsilon^{\lambda_2} P^* + \varepsilon^2 P^{(2)} + o(\varepsilon^2, \varepsilon^{\lambda_2}). \end{aligned}$$

Уравнения для  $f^*$ ,  $P^*$  совпадают по виду с уравнениями для  $f^{(1)}$ ,  $P^{(1)}$ :

$$(3.12) \quad (1 - r^2) f_{rr}^* + r^{-1} f_r^* + r^{-2} f_{\theta\theta}^* = 0, \quad P^* = r f_r^* - f^*.$$

Исключая  $f^*$  из системы уравнений (3.12) и применяя преобразование Буземана — Чаплыгина  $\sigma = [1 - (1 - r^2)^{1/2}] / r$ ,  $\theta = \theta$ , получим для  $P^*$  уравнение Лапласа. Применяя далее конформные отображения, сведем краевую задачу для определения  $P^*$  к задаче Дирихле в плоскости  $\sigma_2 = \sigma^\lambda$ ,  $\theta_2 = \lambda(\theta - \alpha_1)$  для полукольца  $\varepsilon_1 \leq \sigma_2 \leq 1$ ,  $0 \leq \theta_2 \leq \pi$ ,  $\varepsilon_1 \rightarrow 0$ . Очевидно, что  $P^* = 0$  при  $0 \leq \theta_2 \leq \pi$ ,  $\sigma_2 = 1$ ;  $P_\theta^* = 0$  при  $\varepsilon_1 \leq \sigma_2 \leq 1$ ,  $\theta_2 = 0$ ,  $\theta_2 = \pi$ . При  $\sigma_2 = \varepsilon_1$ ,  $0 \leq \theta_2 \leq \pi$ , согласно (3.8), (3.3), (3.12),  $P^* = -(\lambda + 1)T \cos \omega_1 / (\varepsilon_1^{2\lambda})$ .

Решение этой краевой задачи имеет вид

$$(3.13) \quad P^* = (\lambda + 1)2^{-\lambda} T (\sigma^\lambda - \sigma^{-\lambda}) \cos \omega_1.$$

Потенциал  $f^*$  находится по (3.12).

4. Построим приближенную модель вихревого течения, позволяющую получить простые аналитические формулы, чтобы оценить влияние вихря на поле течения.

Заменим вихревую пелену единственным точечным вихрем (3.5), где  $\kappa_N, s_N, \theta_N$  неизвестны. Такая модель использовалась при исследовании других задач, например, в [12, 8, 13]. В этом случае необходимо соединить точку  $N$  и носик клина прямолинейным разрезом и наложить на систему разрез — изолированный вихрь силу Жуковского так, чтобы результирующая сила на систему равнялась нулю [8, 12, 13]. С учетом автомодельности это дает

$$(4.1) \quad V_{z_N} = 2\bar{z}_N.$$

С другой стороны,  $V_{z_N} = dW_1/dz$  при  $z = z_N$ , где  $W_1 = W_{11} + W_{12}$ . Согласно (3.5),  $dW_{12}/dz = dW_N/dz$  имеет в точке  $z = z_N$  простой полюс. По определению [10], скорость частицы в особой точке определяется как правильная часть  $dW_1/dz$  в этой точке. Следовательно,

$$V_{z_N} = \lim_{z \rightarrow z_N} \{dW_1/dz - i\kappa_N/[2\pi(z - z_N)]\}.$$

Раскрывая последний предел по правилу Лопитала, получим

$$(4.2) \quad V_{z_N} = \lambda b_1 e^{-i\alpha_1 \lambda} z_N^{\lambda-1} + i\kappa_N \left[ (\lambda - 1)/(2z_N) - \lambda z_N^{\lambda-1} \left( z_N^\lambda - e^{2i\alpha_1 \lambda} z_N^\lambda \right) \right] / (2\pi).$$

Разделяя действительную и мнимую части выражения, получающегося приравниванием (4.1) и (4.2), найдем

$$(4.3) \quad s_N = \left( -\frac{\lambda}{2} \mu_1 \cos \omega_{1N} \right)^{1/(2-\lambda)}, \quad \kappa_N = 8\pi s_N^2 \operatorname{tg} \omega_{1N} / (1 - \lambda),$$

где  $\omega_{1N} = \lambda(\theta_N - \alpha_1)$ .

Последнее неизвестное  $\theta$  найдем из условия Кутта — Жуковского, требуя ограниченности  $dW_1/dz$  при  $z \rightarrow 0$ :

$$(4.4) \quad \theta_N = \alpha_1 + c \text{ при } \alpha_1 < \alpha_2, \quad \theta_N = 2\pi - \alpha_2 - c$$

при  $\alpha_1 > \alpha_2$ , где  $c = \frac{1}{\lambda} \arcsin \frac{1}{2\sqrt{\lambda}}$ .

Потенциал скорости вихревого течения, согласно (3.5), имеет вид

$$(4.5) \quad \chi_{12} = -\frac{\kappa_N^{2\lambda}}{2\pi} \operatorname{arctg} \frac{s_N^{2\lambda} \sin 2\omega_{1N} - 2s_N^{\lambda} s_N^{\lambda} \sin \omega_{1N} \cos \omega_{1N}}{s_N^{2\lambda} - 2s_N^{\lambda} s_N^{\lambda} \cos \omega_{1N} \cos \omega_{1N} + s_N^{2\lambda} \cos 2\omega_{1N}}.$$

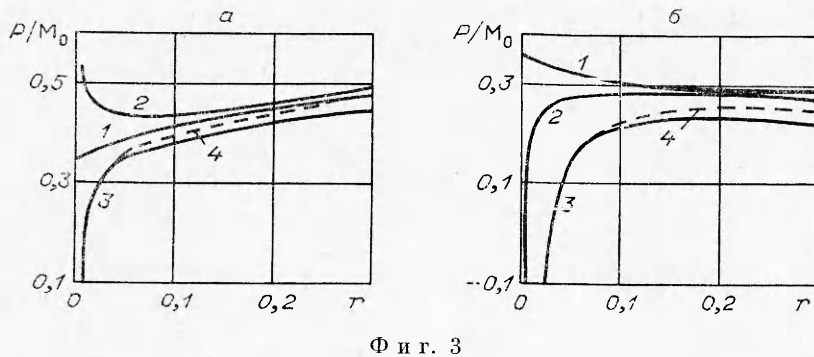
Давление  $\Delta_{12}$  найдем, подставляя (4.5) в (2.4).

Расчеты по формулам (3.3)–(3.5), (3.10), (4.3)–(4.5), представленные на фиг. 3, качественно иллюстрируют влияние образования вихря на распределение давления вблизи носика клина на грани  $OA$  (фиг. 3, а) и на грани  $OD$  (фиг. 3, б). Кривые 1—4 на фиг. 3 вычислены соответственно по линейному, по двучленному внешнему, учитывающему вихреобразование ( $\lambda < 2/3$ ), по одночленному внутреннему при  $M_0 = 0,1$  и по одночленному составному при  $M_0 = 0,1$  решением. Наблюдается принципиальное отличие линейного и нелинейного распределений.

Отметим, что величина  $T$ , определенная в (3.9) и входящая в дополнительный член акустического разложения (3.11) (см. (3.13)), в случае модели точечного вихря принимает значение  $T_N$

$$(4.6) \quad T_N = (\kappa_N/\pi) s_N^\lambda \sin \omega_{1N}.$$

Отметим также, что соотношение для определения  $\kappa_l, s_l, \theta_l$ , следующее из условия Кутта — Жуковского для  $W_1$  с  $W_{11}, W_{12}$ , определенными в (3.4), (3.6), имеет вид  $\pi\mu_l = (\lambda - 1) \int_0^\lambda s_i^\lambda \sin \omega_{1l} d\chi_l$ . Оно переходит в (4.4) при замене пелены точечным вихрем.



Ф и г. 3

5. В несимметричном случае, когда вдвигание сопровождается возникновением вихря, из (3.11) следует, что необходимо внести дополнения в проведенный в [4] процесс построения нелинейных решений в окрестности волновой границы  $ABCD$  (см. фиг. 1).

Проиллюстрируем это на примере фронта ударной волны  $BC$ , распространяющегося по покоящейся среде. Разложения (3.11) в окрестности  $BC$  при  $r \rightarrow 1$ ,  $|\theta - \theta_B| \geq (1-r)^{1/2}$ ,  $|\theta - \theta_C| \gg (1-r)^{1/2}$  примут вид

$$(5.1) \quad P = \varepsilon \{d_1 \rho^{1/2} + O(\rho^{3/2})\} + \varepsilon^{\lambda_2} \{Q_* \rho^{1/2} + O(\rho^{3/2})\} + \varepsilon^2 \{(\gamma + 1) d_1^2 / 2 + O(\rho^{1/2})\} + o(\varepsilon^2, \varepsilon^{\lambda_2}), \quad f = \varepsilon \{-2d_1 \rho^{3/2} / 3 + O(\rho^{5/2})\} + \varepsilon^{\lambda_2} \{-2Q_* \rho^{3/2} / 3 + O(\rho^{5/2})\} + \varepsilon^2 \{-(\gamma + 1) d_1^2 \rho / 2 + O(\rho^{3/2})\} + o(\varepsilon^2, \varepsilon^{\lambda_2}), \quad \rho = 1 - r,$$

$$Q_* = -2^{3/2-\lambda} \lambda (\lambda + 1) T \cos \omega_1, \quad d_1(\theta) = \lambda \left\{ \sin \alpha_1 \left[ \operatorname{ctg} \frac{\lambda}{2} \left( \theta - \frac{\pi}{2} - \alpha_1 \right) - \operatorname{ctg} \frac{\lambda}{2} \left( \theta + \frac{\pi}{2} - \alpha_1 \right) \right] + \sin \alpha_2 \left[ \operatorname{ctg} \frac{\lambda}{2} \left( \theta + \frac{3\pi}{2} - 2\alpha_1 - \alpha_2 \right) - \operatorname{ctg} \frac{\lambda}{2} \left( \theta - \frac{3\pi}{2} + \alpha_2 \right) \right] \right\} / (\pi \sqrt{2}).$$

Внутренние переменные вблизи  $BC$  введем согласно (5.1):

$$(5.2) \quad r = 1 - \varepsilon^2 d_1^\delta, \quad P = 2\varepsilon^2 d_1^2 \{\Pi_4(\delta, \theta) + \varepsilon^{\lambda_2-1} \Pi^*(\delta, \theta) + \varepsilon \Pi_5(\delta, \theta) + \dots\} / (\gamma + 1),$$

$$f = -2\varepsilon^4 d_1^4 \{G_4(\delta, \theta) + \varepsilon^{\lambda_2-1} G^*(\delta, \theta) + \varepsilon G_5(\delta, \theta) + \dots\} / (\gamma + 1).$$

Решения уравнений для  $\Pi_4$ ,  $G_4$  приведены в [4]:

$$(5.3) \quad \Pi_4 = (1 + bH)/c_1, \quad G_4 = \delta/c_1 + 2Hb^3/(3c_1^2) + c_2, \quad b = (1 + \delta c_1)^{1/2}.$$

Уравнения для  $\Pi^*$ ,  $G^*$  и их решения имеют вид

$$(5.4) \quad \Pi^* = G^*, \quad 2(\Pi_4 + \delta) \Pi_\delta^* + (2\Pi_4 \delta - 1) \Pi^* = 0;$$

$$(5.5) \quad \Pi^* = e k_3 (1 + Hb)^2 / b, \quad G^* = 2k_3 e H (1 + Hb)^3 / (3c_1) + k_4, \quad e = \exp(1).$$

Здесь  $c_1$ ,  $c_2$ ,  $k_3$ ,  $k_4$  — произвольные функции  $\theta$ ,  $H = \pm 1$ .

Уравнения для  $\Pi_5$ ,  $G_5$  совпадают по виду с уравнениями (5.4).

Сращивая разложения (3.11) и (5.2) на уровне

$$\left( P_i^{\varepsilon^{\lambda_2}} \right)_i^{\varepsilon^{\lambda_2+1}} = \left( F_i^{\varepsilon^{\lambda_2+1}} \right)_0^{\varepsilon^{\lambda_2}}, \quad \left( f_i^{\varepsilon^{\lambda_2}} \right)_i^{\varepsilon^{\lambda_2+3}} = \left( f_i^{\varepsilon^{\lambda_2+3}} \right)_0^{\varepsilon^{\lambda_2}},$$

получим

$$(5.6) \quad c_1 = 4/(\gamma + 1)^2, \quad H = \operatorname{sign}(d_1), \quad k_3 e = \operatorname{sign}(d_1) Q_*/(c_1 d_1).$$

Оставшиеся во внутренних решениях (5.3), (5.5) произвольные функции и постоянные найдем при удовлетворении граничных условий на фронте ударной волны

$$(5.7) \quad \delta = \delta_* = \delta_0 + \varepsilon^{\lambda_2 - 1} \delta^* + \varepsilon \delta_1 + \dots$$

Используя (5.2), (5.7) в точных условиях, получим

$$(5.8) \quad \Pi_4(\delta_0) = -2\delta_0, \quad G_4(\delta_0) = 0;$$

$$(5.9) \quad \delta^* \Pi_{4\delta}(\delta_0) + \Pi^*(\delta_0) = -2\delta^*, \quad d_1 \delta^{*\prime} \Pi_4(\delta_0) + 4d'_1 [\delta^* \Pi_4(\delta_0) + G^*(\delta_0)] = 0$$

(штрих означает производную по  $\theta$ ).

Удовлетворяя (5.8), найдем  $c_2$ ,  $\delta_0$ , удовлетворяя (5.9), найдем  $k_4$ ,  $\delta^*$  (это можно сделать лишь при  $H = 1$ , т. е. при  $d_1 > 0$ ):

$$(5.10) \quad c_2 = 2/(3c_1^2), \quad \delta_0 = -3/(4c_1), \quad \delta^* = -3k_3 e/2,$$

$$k_4 = 9d_1(k_3 e)' / (16c_1 d'_1), \quad H = 1.$$

Можно увидеть, что формулы для старших членов разложений (5.2), (5.7) совпадают с полученными в [4]. Формулы (5.5), (5.6), (5.10) для следующих членов разложений (5.2), (5.7) позволяют оценить влияние вихреобразования на параметры течения вблизи  $BC$ .

Учет вихреобразования в решениях, справедливых вблизи фронтов линий слабого разрыва  $AB$  и  $CD$  производится аналогично. При этом в (5.5), (5.6)  $c_2 = k_4 = 0$ ,  $H = \text{sign}(d_1) = -1$ .

Отметим, что краевая задача для окрестности тройной точки  $B$ , сформулированная в [4], не изменится, если учесть вихреобразование, так как из (5.5), (5.6) имеем  $\Pi^* \sim d_1 |\theta - \theta_B|$  при  $|\theta - \theta_B| \rightarrow 0$ , и что, согласно (5.2)–(5.7), (5.10), внутренние разложения (5.2) регулярны.

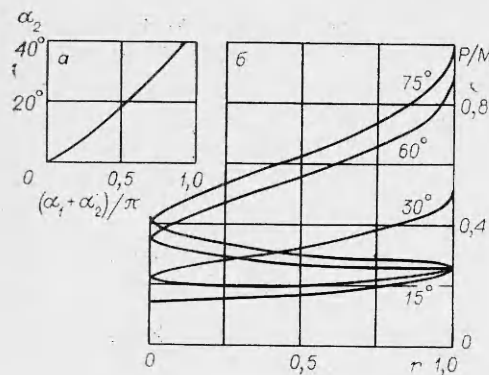
6. В дополнение к результатам работы [4] отметим интересный с физической точки зрения факт: несимметричное вдвигание клина с малой скоростью при некоторых значениях углов  $\alpha_1$ ,  $\alpha_2$  сопровождается возникновением висячей ударной волны, отходящей от грани клина, образующей с осью  $Ox$  меньший угол (грани  $OD$  на фиг. 1, б).

Для его доказательства рассмотрим величину  $H = \text{sign}(d_1)$ , полагая для определенности  $\alpha_1 \geq \alpha_2$ . Согласно п. 5, необходимо доказать, что в точке  $D$  и некоторой ее окрестности  $H = 1$ . Анализ  $d_1$  из (5.1) показывает, что в точке  $D$  при  $\theta = \theta_D = 2\pi - \alpha_2$  величина  $H = \text{sign}[\sin \alpha_1 \times \sin^2(\lambda\pi/4) - \sin \alpha_2 \cos^2(\lambda\pi/4)]$ . Таким образом, вблизи грани  $OD$  возникает висячая ударная волна  $DG$  ( $G$  — некоторая точка на фронте  $DC$ , в которой ударная волна вырождается в линию слабого разрыва), если исходные данные задачи  $\alpha_1$ ,  $\alpha_2$  принадлежат области  $A(\alpha_1, \alpha_2)$ , определяемой соотношением  $\sin \alpha_1 \sin^2(\lambda\pi/4) > \sin \alpha_2 \cos^2(\lambda\pi/4)$ . В плоскости  $(\alpha_1 + \alpha_2)/\pi$ ,  $\alpha_2$  область  $A$  лежит ниже кривой, изображенной на фиг. 4, а (отметим, что при  $\alpha_1 = \alpha_2$   $H = -1$  для  $\theta_c < \theta \leq \theta_D$  и фронт  $CD$  всегда целиком является линией слабого разрыва).

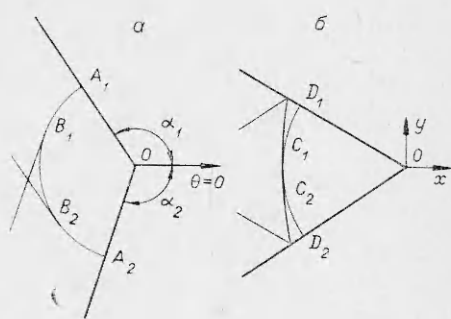
Положение и интенсивность ударной волны  $DG$  и параметры за ней могут быть определены по известным формулам [4]. Отметим, что максимум интенсивности волны достигается в точке  $D$ .

Интересно, что с изменением  $\alpha_1$  при фиксированном  $\alpha_2$  наблюдается качественное изменение эпюры давления вдоль грани  $OD$ . Это иллюстрирует фиг. 4, б, где представлены расчеты давления  $P/M_0$  вдоль граней  $OA$ ,  $OD$  (соответственно верхние и нижние части кривых), выполненные для  $\alpha_2 = 15^\circ$  и  $\alpha_1 = 15; 30; 60; 75^\circ$ . В случае, когда давление вдоль  $OD$  монотонно падает ( $\alpha_1 = 75^\circ$ ), имеем, согласно фиг. 4, а, режим с образованием висячей ударной волны  $DG$ .

7. В заключение рассмотрим не исследовавшийся в [1–4] случай вдвигания с малой скоростью ( $M_0 \ll 1$ ) вогнутого угла раствора  $2\alpha = 11^\circ$



Фиг. 4



Фиг. 5

$= \alpha_1 + \alpha_2$  ( $2\alpha > \pi$ ,  $\alpha_1 \geq \alpha_2$ ,  $\alpha_1 < \pi$ ). В этом случае (фиг. 5) происходит отражение плоских ударных волн друг от друга и, если  $4\alpha > 3\pi$ , от граней угла. Характер интерференции, т. е. количество отражений фронтов друг от друга и от граней, и величина параметров в областях кусочно-постоянных значений  $P$  зависят от  $M_0$ ,  $2\alpha$  и соотношения между  $\alpha_1$ ,  $\alpha_2$  и определяются последовательно решением задач о столкновении плоских ударных волн разной интенсивности и об отражении ударной волны от стеки [14].

Можно заметить, что с ростом  $\alpha$  растет количество отражений, при этом в окрестности волновой границы области возмущений поочередно реализуется одна из ситуаций, изображенных на фиг. 5, а, б. В линейном приближении интервалы изменения  $2\alpha$ , соответствующие различным картинам интерференции, определяются соотношением

$$(7.1) \quad (1 + 2n)\pi/(1 + n) < 2\alpha < (3 + 2n)\pi/(2 + n), \quad n = 0, 1, 2, \dots$$

Для  $n = 0, 2, 4, \dots$  ( $n \sim$  количеству отражений ударной волны от граней) в окрестности волновой границы реализуется ситуация, изображенная на фиг. 5, а, а давление в области возмущений в симметричном и несимметричном случаях (буквы с, н в нижнем индексе) определяется по формулам

$$(7.2) \quad P_c^{(1)} = \sin \alpha_1 (1 + n + I_1), \quad P_h^{(1)} = (1 + n/2) \sin \alpha_1 + (n/2) \sin \alpha_2 + I_2, \\ n = 0, 2, 4, \dots,$$

$$I_1 = I_3 - I_4, \quad I_2 = I_3 \sin \alpha_2 - I_4 \sin \alpha_1, \quad I_3 = I \{ \sigma^\lambda, \lambda(\theta - \alpha_1), \pi - \lambda\pi/2 \}, \\ I_4 = I \{ \sigma^\lambda, \lambda(\theta - \alpha_1), \lambda\pi/2 \}$$

(функция  $I$  определена соотношением (1.4)).

Для  $n = 1, 3, 5, \dots$  ( $(n + 1)/2 \sim$  количеству отражений ударных волн друг от друга) ситуация в окрестности волновой границы изображена на фиг. 5, б, а давление в области возмущений определяется по формулам

$$(7.3) \quad P_c^{(1)} = \sin \alpha_1 (2 + n + I_1), \quad P_h^{(1)} = [(n + 3) \sin \alpha_1 + (n + 1) \sin \alpha_2]/2 + \\ + I_2, \quad n = 1, 3, 5, \dots$$

Интересно, что при вдвигании вогнутого угла не наблюдается значительного увеличения давления в области возмущений в случае, когда  $\alpha_1 + \alpha_2 \rightarrow 2\pi$ , т. е. когда возрастает число отражений слабых ударных волн друг от друга и от граней угла. В самом деле, из (7.1)–(7.3) можно установить, что при  $\alpha_1 + \alpha_2 \rightarrow 2\pi$  ( $n$  велико) в линейном приближении  $P \rightarrow \pi M_0/2$ . Для сравнения заметим, что при вдвигании выпуклого угла с малой скоростью, согласно [4], в области возмущений  $P \leq M_0$ .

Установим нелинейные особенности задачи в случае небольших значений  $n$ . Согласно (7.2), (7.3), при  $r \rightarrow 1$  вне окрестностей тройных точек  $B_k, C_k$  ( $k = 1, 2$ )

$$P^{(1)} = P^{(1)}(1, \theta) + Q\rho^{1/2} + O(\rho^{3/2}), \quad \rho = 1 - r,$$

$$Q = 2\lambda \sin(\lambda\pi/2) \{ \sin \alpha_2 / [\cos \lambda(\theta - \alpha_1) + \cos(\lambda\pi/2)] - \sin \alpha_1 / [\cos \lambda(\theta - \alpha_1) - \cos(\lambda\pi/2)] \}.$$

Анализируя знак  $Q$  в зависимости от  $\theta$ , заключаем, что на фиг. 5 фронты  $A_kB_k, C_1C_2$  являются слабыми ударными волнами, а фронты  $B_1B_2, C_kD_k$  — линиями слабого разрыва. Их положение и параметры в областях больших градиентов за ними, а также параметры в окрестностях тройных точек  $B_k, C_k$  могут быть определены по формулам из [4].

Поступила 25 I 1980

#### ЛИТЕРАТУРА

1. Sakurai A. The flow due to impulsive motion of a wedge and its similarity to the diffraction of shock wave.— J. Phys. Soc. Japan, 1955, vol. 10, N 3.
2. Strang W. J. A physical theory of supersonic aerofoils in unsteady flow.— Proc. Roy. Soc. London, 1948, vol. A195, N 1041.
3. Тугазаков Р. Я. Нестационарная задача о внезапном движении клина и конуса с до- и сверхзвуковой скоростями.— Учен. зап. ЦАГИ, 1973, т. 4, № 1.
4. Титаренко В. В. Нелинейный анализ течения, инициируемого внезапным движением клина.— ПМТФ, 1976, № 3.
5. Ван-Дайк М. Методы возмущений в механике жидкости. М.: Мир, 1967.
6. Рауз Х. Механика жидкости. М.: Стройиздат, 1967.
7. Прандтль Л., Титенс Л. Гидро- и аэромеханика. Т. 1. М.: ОНТИ, 1933.
8. Бэтчелор Дж. Введение в динамику жидкости. М.: Мир, 1973.
9. Никольский А. А. О «второй» форме движения идеальной жидкости около обтекаемого тела (исследование отрывных вихревых потоков).— ДАН СССР, 1957, т. 116, № 2.
10. Седов Л. И. Механика сплошной среды. Т. 2. М.: Наука, 1973.
11. Белоцерковский С. М., Ништ М. И. Отрывное и безотрывное обтекание тонких крыльев идеальной жидкостью. М.: Наука, 1978.
12. Cheng H. K. Remarks on nonlinear lift and vortex separation.— J. Aeron. Sci., 1954, 21, N 3.
13. Судаков Г. Г. Расчет отрывного течения около тонкого треугольного крыла малого удлинения.— Учен. зап. ЦАГИ, 1974, т. 5, № 2.
14. Арутюнян Г. М., Карчевский Л. В. Отраженные ударные волны. М.: Машиностроение, 1973.

УДК 624.07 : 534.1

#### АВТОМОДЕЛЬНЫЕ ЗАДАЧИ ДИНАМИЧЕСКОГО ИЗГИБА БЕСКОНЕЧНЫХ НЕЛИНЕЙНО-УПРУГИХ БАЛОК

В. П. Ястребов

(Ленинград)

Получение точных решений задач динамического изгиба балок, материалов которых не подчиняется закону Гука, связано с большими математическими трудностями. При решении подобных задач используются приближенные методы. Например, в работе [1] динамический изгиб бесконечных нелинейно-упругих балок исследуется с помощью разложения решения в ряды на переменном интервале. Согласно [2, 3], при решении задач балка заменяется по длине цепочкой жестких участков, соединенных между собой шарнирами, в которых